

水槽池内の流水の運動について

建設省土木研究所 正員 田畠茂清

1.はじめに

噴流の拡散状態が、境界条件によって、種々変化するといふことは、多くの研究者によつて、明らかにされつゝある。⁽¹⁾以前著者も長さ350cm、高さ110cm、幅80cmの水平片面ガラス張鋼製水路で二次元噴流実験をおこない、⁽²⁾水槽作用におよぼす境界の影響について検討を加えた。

その結果、噴流の拡散のしかたは無限噴流のそれにくらべて大きく異なり、その値は噴流出口位置、水槽池水深、水槽池長さなどの境界条件によつて変化することが明らかになつた。そしてその原因は、水槽池内の流水の運動状態が境界条件に応じて変化することによる考え方られた。

そこで流水の運動モデルを設定して、実験水槽池内の流水の運動とくらべてみたのが本報告である。

2. 実験

実験は長さ350cm、高さ110cm、幅80cmの水平片面ガラス張鋼製水路（その上部に高さ150cm、長さ100cm、幅75cmの上下左右に移動可能な二次元噴流槽がつられてゐる）を用いて、噴流出口位置、噴流出口幅、水槽池水深を種々変化させ、各々の場合の境界面に与える動圧力および水槽池内の流水の速度を測定した。

境界面に与える動圧力の測定は水路底および側壁の中心線上に2cm毎に直径1.0mmの孔をあけ、そこからビニールパイプで連結された直径1.0mmのマノメーターによって読み取った。

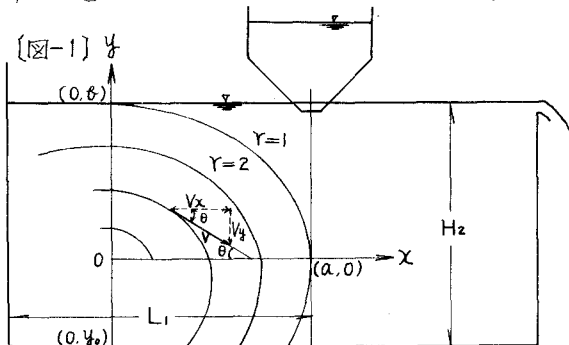
又水槽池内の流速測定は流水中にトレーサーとしてスタイロン（比重1.05、直角0.12～0.20cm）を混入し、写真撮影することによつて流跡線を求め、その長さに写真縮尺およびシャッタースピードを乗することによつてその時の流速とした。⁽³⁾この方法は全体的な流水の運動状態を知ることができ、また同時に任意の点における流速測定をおこなうことが出来るので便利である。

3. 流水の運動モデル

今図-1に示すように、渦中心を原点、水平軸をX軸、垂直軸をY軸とする。そして循環流の運動の型を次の式で仮定する。

$$\frac{x^2}{a^2} + \frac{y^2}{b^2} = \frac{1}{4} \quad (1)$$

ただし a 、 b は原点から水面までの距離、及び噴流出口位置までの距離を示し、 γ はパラメーターである。



(1) 土屋昭彦他「垂直噴流におよぼす境界の影響」第20回土木学会年次講演会(1965)

(2) 田畠、三浦「水槽池における噴流の減勢効果について」砂防学会講演会(1968)

(3) " " 「トレーサー法による噴流の流速測定」建設省砂防事業調査費報告書(1968)

任意の点 (x, y) での流速 V の V_x (cm/sec) [図-2]

X 方向成分 V_x や y 方向成分 V_y は流線の定義より次のように表わせる。

$$V_x = \sqrt{V^2 - V_y^2} \sqrt{1 + \frac{\alpha^2}{\alpha^2} \left(\frac{1}{y^2} \frac{1}{y^2} - \frac{1}{\alpha^2} \right)} \quad \text{--- (2)}$$

$$V_y = \sqrt{V^2 - V_x^2} \sqrt{1 + \frac{\alpha^2}{\alpha^2} \left(\frac{1}{y^2} \frac{1}{y^2} - \frac{1}{\alpha^2} \right)} \quad \text{--- (3)}$$

ここで 各横円での周期は等しく、かつ V は等速運動とする。又 図-1 の $(0, 0)$ 点の流速 V_0 は、噴流域内の流速と考えられるので、次の式で推定する。

$$\frac{V_0}{V_0} = 2.20 (\beta d_0)^{-0.5}$$

ただし V_0 : 噴流速度, d_0 : 噴流出口幅

以上の方程式を入めて (2), (3) 式を整理すると、次のようになる。

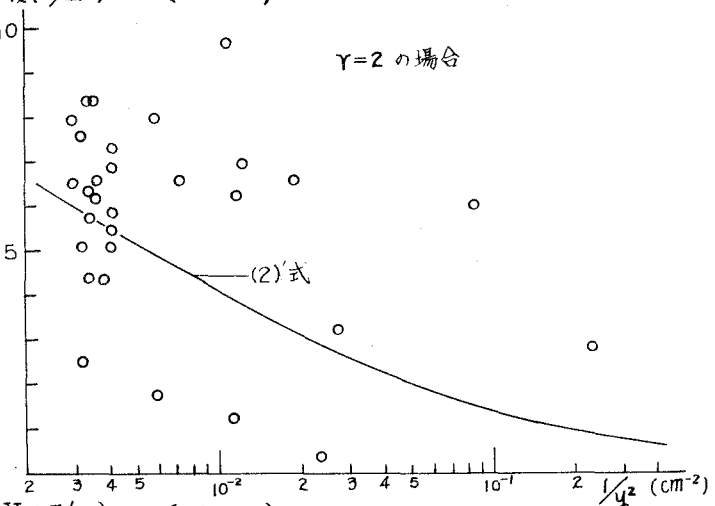
$$V_x = \frac{V_0 \times 2.20 \times (\beta d_0)^{-0.5}}{Y \sqrt{1 + \frac{\alpha^2}{\alpha^2} \left(\frac{1}{y^2} \frac{1}{y^2} - \frac{1}{\alpha^2} \right)}} \quad \text{--- (2')}$$

$$V_y = \frac{V_0 \times 2.20 \times (\beta d_0)^{-0.5}}{Y \sqrt{1 + \frac{\alpha^2}{\alpha^2} \left(\frac{1}{y^2} \frac{1}{y^2} - \frac{1}{\alpha^2} \right)}} \quad \text{--- (3')}$$

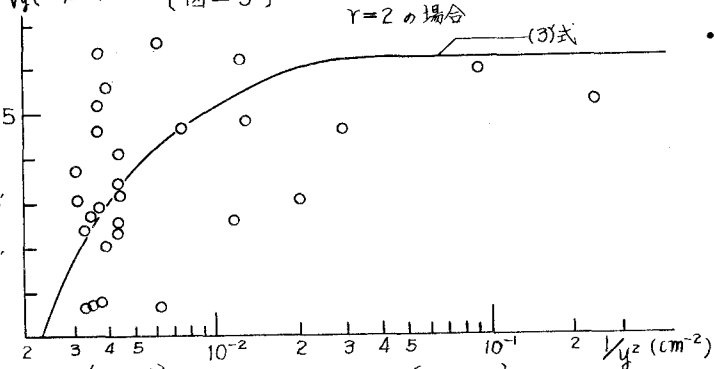
4. 実験結果

以上のように推定した水槽池内の循環流の流速 V を直接比較したもののが図-1 および図-3 である。

又 水路床での V_y が (cm) その点の圧力になると $\frac{V_y^2}{2g}$ 考えて (3) 式に $y = y_0$ を代入し $\frac{V_y^2}{2g}$ を計算した。この計算値と実際



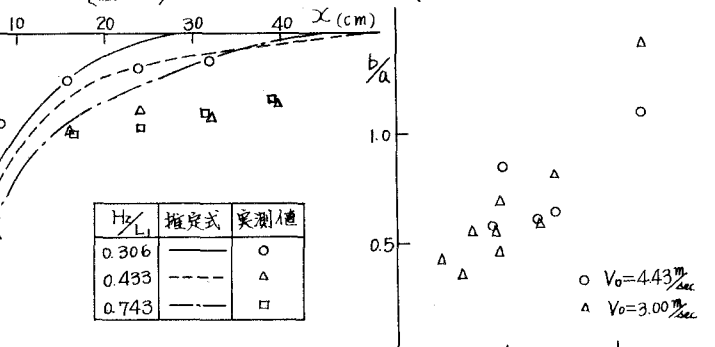
[図-2]



[図-3]



[図-4]



H_2/L_1	推定式	実測値
0.306	—	○
0.433	- - -	△
0.743	—	□

実際にマノメーターによって測定した値とを比較したもののが図-4 である。

このように 水槽池内の循環流は ほゞ横円に近い流線を示していることがわかる。そして 境界条件の変化は 循環流の中心と その型を変える働きをしているようである。循環流の中心とその型を示すパラメータ b/a は、図-5 に示したように、境界条件の変化を示すパラメータ H_2/L_1 によって変化する。このために 水路床へ与える圧力が変化するのではないかと考えられる。

もちろんそれには、放流理論による検討が必要である。